

# Bestimmung eines repräsentativen Jahres nach VDI-Richtlinie 3783 Blatt 20 für Ausbreitungsrechnungen nach TA Luft

für die DWD-Station Trier-Petrisberg

Diese Version "-02" korrigiert Angaben im Niederschlagskapitel des Dokumentes AKJ.20240118-01



Auftraggeber:	iMA Richter & Röckle GmbH & Co.KG Eisenbahnstraße 43 D-79098 Freiburg	Tel.: 0761 2021661
Bearbeiter:	DiplPhys. Thomas Köhler	Dr. Hartmut Sbosny
	Tel.: 037206 8929-44	Tel.: 037206 8929-43
	Email: Thomas.Koehler@ifu-analytik.de	Email: Hartmut.Sbosny@ifu-analytik.de
Aktenzeichen:	AKJ.20240118-02	
Ort, Datum:	Frankenberg, 2. Juli 2024	
Anzahl der Seiten:	30	
Anlagen:	-	



Akkreditiert für die Bereitstellung meteorologischer Daten für Ausbreitungsrechnungen nach TA Luft nach VDI-Richtlinie 3783 Blatt 20

> Durch die DAkkS nach DIN EN ISO/IEC 17025:2005 akkreditiertes Prüflaboratorium. Die Akkreditierung gilt für die in der Urkunde aufgeführten Prüfverfahren.

www.ifu-analytik.de

bank Sparkasse Mittelsachsen



# Inhaltsverzeichnis

Inhaltsverzeichnis	2
Abbildungsverzeichnis	
Tabellenverzeichnis	3
1 Aufgabenstellung	4
2 Beschreibung der Wetterstation	
3 Bestimmung eines repräsentativen Jahres	9
3.1 Bewertung der vorliegenden Datenbasis und Auswahl eines geeigneten Zeitraums	9
3.2 Analyse der Verteilungen von Windrichtung, Windgeschwindigkeit, Ausbreitungsklasse so	wie der
Nacht- und Schwachwinde	13
3.3 Prüfung auf Plausibilität	15
4 Beschreibung der Datensätze	20
4.1 Effektive aerodynamische Rauigkeitslänge	20
4.1.1 Theoretische Grundlagen	20
4.1.2 Bestimmung der effektiven aerodynamischen Rauigkeit im konkreten Fall	23
4.1.3 Bestimmung der effektiven aerodynamischen Rauigkeit im konkreten Fall	23
4.2 Rechnerische Anemometerhöhen in Abhängigkeit von der Rauigkeitsklasse	26
4.3 Ausbreitungsklassenzeitreihe	26
4.4 Ausbreitungsklassenzeitreihe mit Niederschlag	26
5 Zusammenfassung	28
6 Prüfliste für die Übertragbarkeitsprüfung	29
7 Schrifttum	30



# Abbildungsverzeichnis

Abbildung 1: Lage der ausgewählten Station	5
Abbildung 2: Luftbild mit der Umgebung der Messstation	7
Abbildung 3: Orographie um den Standort der Wetterstation	8
Abbildung 4: Prüfung auf vollständige und homogene Daten der Windmessstation anhand der	
Windrichtungsverteilung	10
Abbildung 5: Prüfung auf vollständige und homogene Daten der Windmessstation anhand der	
Windgeschwindigkeitsverteilung	11
Abbildung 6: Prüfung auf vollständige und homogene Daten der Windmessstation anhand der Verteilun	_
der Ausbreitungsklasse	12
Abbildung 7: Gewichtete $\chi^2$ -Summe und Einzelwerte als Maß für die Ähnlichkeit der einzelnen	
Testzeiträume zu je einem Jahr (Jahreszeitreihe) mit dem Gesamtzeitraum	15
Abbildung 8: Vergleich der Windrichtungsverteilung für die ausgewählte Jahreszeitreihe mit dem	
Gesamtzeitraum	
Abbildung 9: Vergleich der Windgeschwindigkeitsverteilung für die ausgewählte Jahreszeitreihe mit der	
Gesamtzeitraum	
Abbildung 10: Vergleich der Verteilung der Ausbreitungsklasse für die ausgewählte Jahreszeitreihe mit o	
Gesamtzeitraum	18
Abbildung 11: Vergleich der Richtungsverteilung von Nacht- und Schwachwinden für die ausgewählte	
Jahreszeitreihe mit dem Gesamtzeitraum	
Abbildung 12:Schematischer Ablauf zur Bestimmung der effektiven aerodynamischen Rauigkeit	
Abbildung 13:Verteilung der effektiven aerodynamischen Rauigkeiten auf die Windrichtungssektoren fü	
die Station Trier-Petrisberg	
Abbildung 14:Rauigkeitslänge in Metern in der Umgebung der Station nach CORINE-Datenbank	25
Tabellenverzeichnis	
Tabelle 1: Koordinaten der Wetterstation	6
Tabelle 2: Anzahl der Einzelmessungen und Sektorenrauigkeiten für die Station Trier-Petrisberg	
Tabelle 3: Rechnerische Anemometerhöhen in Abhängigkeit von der Rauigkeitsklasse für die Station Trie	
Petrisberg	

2. Juli 2024 3 / 30



# 1 Aufgabenstellung

Der Auftraggeber plant Ausbreitungsrechnungen nach TA Luft unter Verwendung der meteorologischen Daten der Station Trier-Petrisberg in Rheinland-Pfalz.

Die TA Luft sieht vor, meteorologische Daten für Ausbreitungsrechnungen von einer Messstation (Bezugswindstation) auf einen Anlagenstandort (Zielbereich) zu übertragen, wenn am Standort der Anlage keine Messungen vorliegen.

Dabei ist zu ermitteln, welches Jahr für die Messdaten der ausgewählten Bezugswindstation repräsentativ für einen größeren Zeitraum ist. Dies geschieht im Rahmen des vorliegenden Dokuments unter Beachtung der Regelungen in VDI-Richtlinie 3783 Blatt 20 [1].

2. Juli 2024 4/30



## 2 Beschreibung der Wetterstation

Die zur Übertragung ausgewählte Station Trier-Petrisberg befindet sich östlich der Innenstadt von Trier auf dem Petrisberg. Im Norden wird er durch das Avelertal im Stadtteil Kürenz begrenzt und im Süden durch das Olewiger Tal. Im Osten grenzt der Stadtteil Tarforst an den Berg und im Westen der Stadtteil Mitte-Gartenfeld.

Die Lage der Station in Rheinland-Pfalz ist aus der folgenden Abbildung ersichtlich.

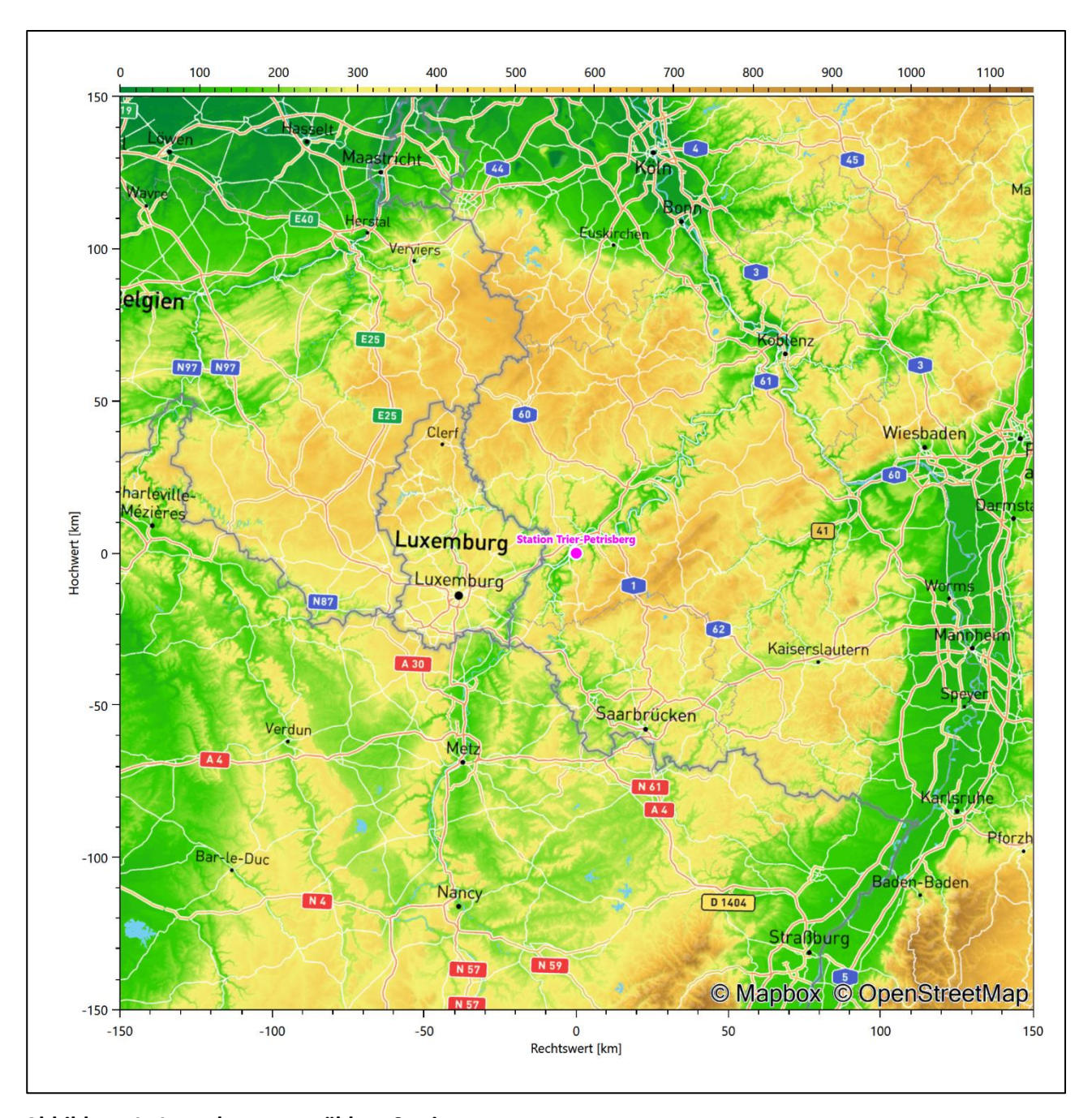


Abbildung 1: Lage der ausgewählten Station

In der folgenden Tabelle sind die Koordinaten der Wetterstation angegeben. Sie liegt 261 m über NHN. Der Windgeber war während des hier untersuchten Zeitraumes in einer Höhe von 18,8 m angebracht.

2. Juli 2024 5 / 30



#### **Tabelle 1: Koordinaten der Wetterstation**

Geographische Länge:	6,6583°
Geographische Breite:	49,7479°

Die Umgebung der Station ist durch eine wechselnde Landnutzung geprägt. Landwirtschaftliche Flächen (überwiegend zum Weinanbau genutzt), wechseln sich mit durchgängig bebauten Siedlungsgebieten ab, außerdem mit Waldgebieten.

Das folgende Luftbild verschafft einen detaillierten Überblick über die Nutzung um die Wetterstation.

2. Juli 2024 6 / 30





Abbildung 2: Luftbild mit der Umgebung der Messstation

Orographisch ist das Gelände, auch im weiteren Umkreis, deutlicher gegliedert. Durch die Lage der Station auf dem Petrisberg, der mit 265 m über NHN die im Moseltal liegenden Stadteile um gut einhundert Meter überragt. ist von allen Richtungen eine ungestörte Anströmung möglich.

Die nachfolgende Abbildung verschafft einen Überblick über das Relief.

2. Juli 2024 7/30



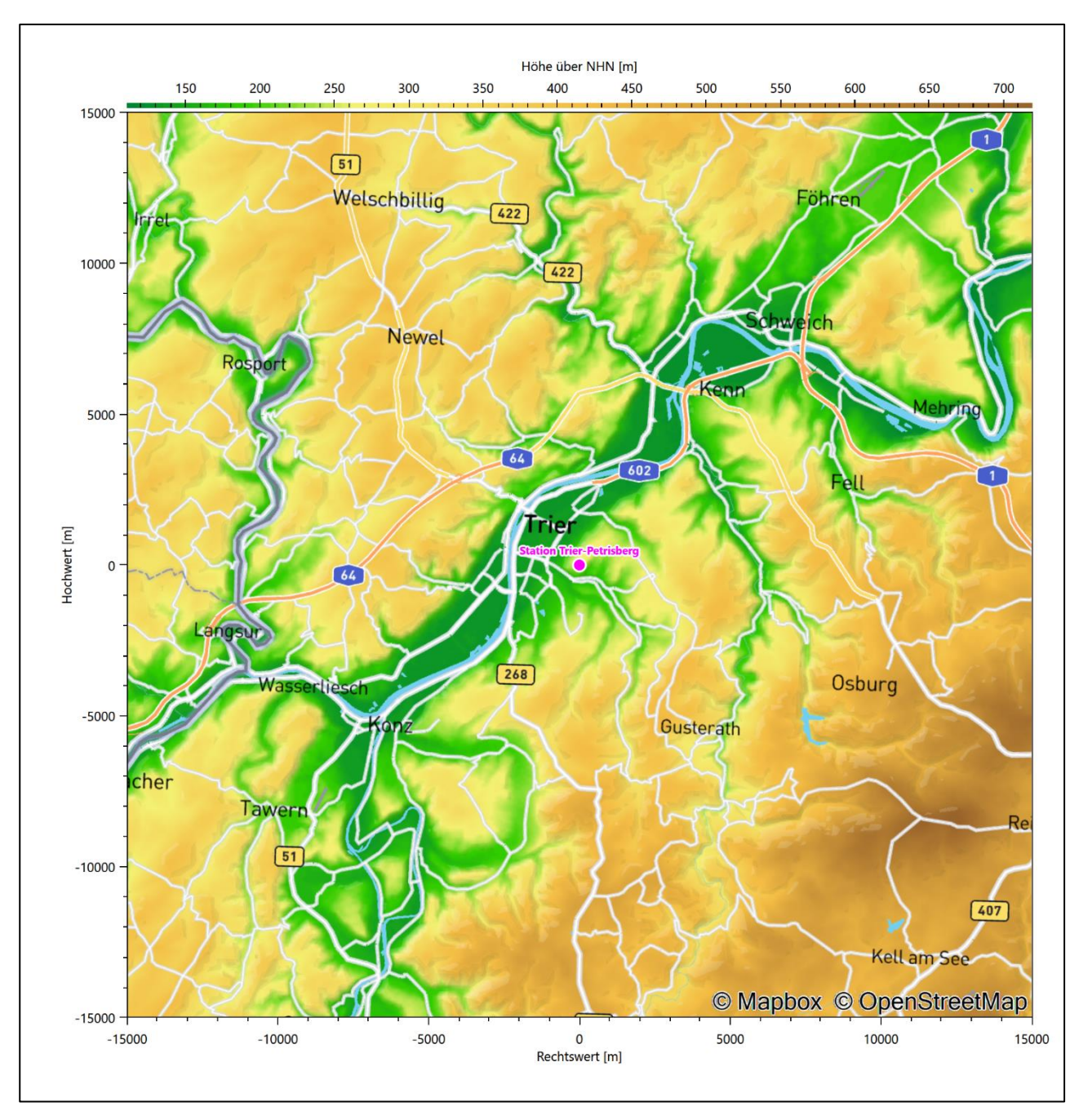


Abbildung 3: Orographie um den Standort der Wetterstation

2. Juli 2024 8 / 30



### 3 Bestimmung eines repräsentativen Jahres

Neben der räumlichen Repräsentanz der meteorologischen Daten ist auch die zeitliche Repräsentanz zu prüfen. Bei Verwendung einer Jahreszeitreihe der meteorologischen Daten muss das berücksichtigte Jahr für den Anlagenstandort repräsentativ sein. Dies bedeutet, dass aus einer hinreichend langen, homogenen Zeitreihe (nach Möglichkeit 10 Jahre, mindestens jedoch 5 Jahre) das Jahr ausgewählt wird, das dem langen Zeitraum bezüglich der Windrichtungs-, Windgeschwindigkeits- und Stabilitätsverteilung am ehesten entspricht.

Im vorliegenden Fall geschieht die Ermittlung eines repräsentativen Jahres in Anlehnung an das Verfahren AKJahr, das vom Deutschen Wetterdienst verwendet und in VDI-Richtlinie 3783 Blatt 20 [1] veröffentlicht wurde.

Bei diesem Auswahlverfahren handelt es sich um ein objektives Verfahren, bei dem die Auswahl des zu empfehlenden Jahres hauptsächlich auf der Basis der Resultate zweier statistischer Prüfverfahren geschieht. Die vorrangigen Prüfkriterien dabei sind Windrichtung und Windgeschwindigkeit, ebenfalls geprüft werden die Verteilungen von Ausbreitungsklassen und die Richtung von Nacht- und Schwachwinden. Die Auswahl des repräsentativen Jahres erfolgt dabei in mehreren aufeinander aufbauenden Schritten. Diese sind in den Abschnitten 3.1 bis 3.3 beschrieben.

# 3.1 Bewertung der vorliegenden Datenbasis und Auswahl eines geeigneten Zeitraums

Um durch äußere Einflüsse wie z. B. Standortverlegungen oder Messgerätewechsel hervorgerufene Unstetigkeiten innerhalb der betrachteten Datenbasis weitgehend auszuschließen, werden die Zeitreihen zunächst auf Homogenität geprüft. Dazu werden die Häufigkeitsverteilungen von Windrichtung, Windgeschwindigkeit und Ausbreitungsklasse herangezogen.

Für die Bewertung der Windrichtungsverteilung werden insgesamt 12 Sektoren mit einer Klassenbreite von je 30° gebildet. Es wird nun geprüft, ob bei einem oder mehreren Sektoren eine sprunghafte Änderung der relativen Häufigkeiten von einem Jahr zum anderen vorhanden ist. "Sprunghafte Änderung" bedeutet dabei eine markante Änderung der Häufigkeiten, die die normale jährliche Schwankung deutlich überschreitet, und ein Verbleiben der Häufigkeiten auf dem neu erreichten Niveau über die nächsten Jahre. Ist dies der Fall, so wird im Allgemeinen von einer Inhomogenität ausgegangen und die zu verwendende Datenbasis entsprechend gekürzt.

Eine analoge Prüfung wird anhand der Windgeschwindigkeitsverteilung durchgeführt, wobei eine Aufteilung auf die Geschwindigkeitsklassen nach VDI-Richtlinie 3782 Blatt 6 erfolgt. Schließlich wird auch die Verteilung der Ausbreitungsklassen im zeitlichen Verlauf über den Gesamtzeitraum untersucht.

Im vorliegenden Fall sollte ein repräsentatives Jahr ermittelt werden, für das auch Niederschlagsdaten aus dem RESTNI-Datensatz des Umweltbundesamtes zur Verfügung stehen. Ziel des Projektes RESTNI (Regionalisierung stündlicher Niederschläge zur Modellierung der nassen Deposition) an der Leibniz Universität Hannover war es gewesen, räumlich hochaufgelöste, modellierte Niederschlagsdaten für ganz Deutschland bereitzustellen. Diese Daten existieren derzeit noch nur für die Jahre 2006 bis 2015 ("UBA-Jahre"). Nur aus diesem Zeitraum konnte das repräsentative Jahr gewählt werden.

Weil der UBA-Zeitraum mittlerweile schon länger zurückliegt, wurde das Verfahren wie folgt modifiziert: Es wird zwischen dem Auswahlzeitraum und dem Repräsentationszeitraum unterschieden. Der

2. Juli 2024 9 / 30



Auswahlzeitraum ist derjenige, aus dem das repräsentative Jahr ausgewählt werden kann; dieses ist hier der UBA-Zeitraum. Der Repräsentationszeitraum ist derjenige, anhand dessen die langjährig gemittelten Zielgrößen bestimmt werden, denen das repräsentative Jahr dann möglichst nahekommen soll. Also derjenige Zeitraum, den das repräsentative Jahr dann repräsentiert. Beider Anfang wird hier identisch gewählt, aber der Repräsentationszeitraum dann so weit als möglich bis in die Gegenwart verlängert. Das auf diese Weise ermittelte Jahr repräsentiert dann einen aktuelleren Gesamtzeitraum als nur den UBA-Zeitraum.

Die nachfolgenden Abbildungen zeigen den Test auf Homogenität für die ausgewählte Station für den Repräsentationszeitraum ("Gesamtzeitraum").

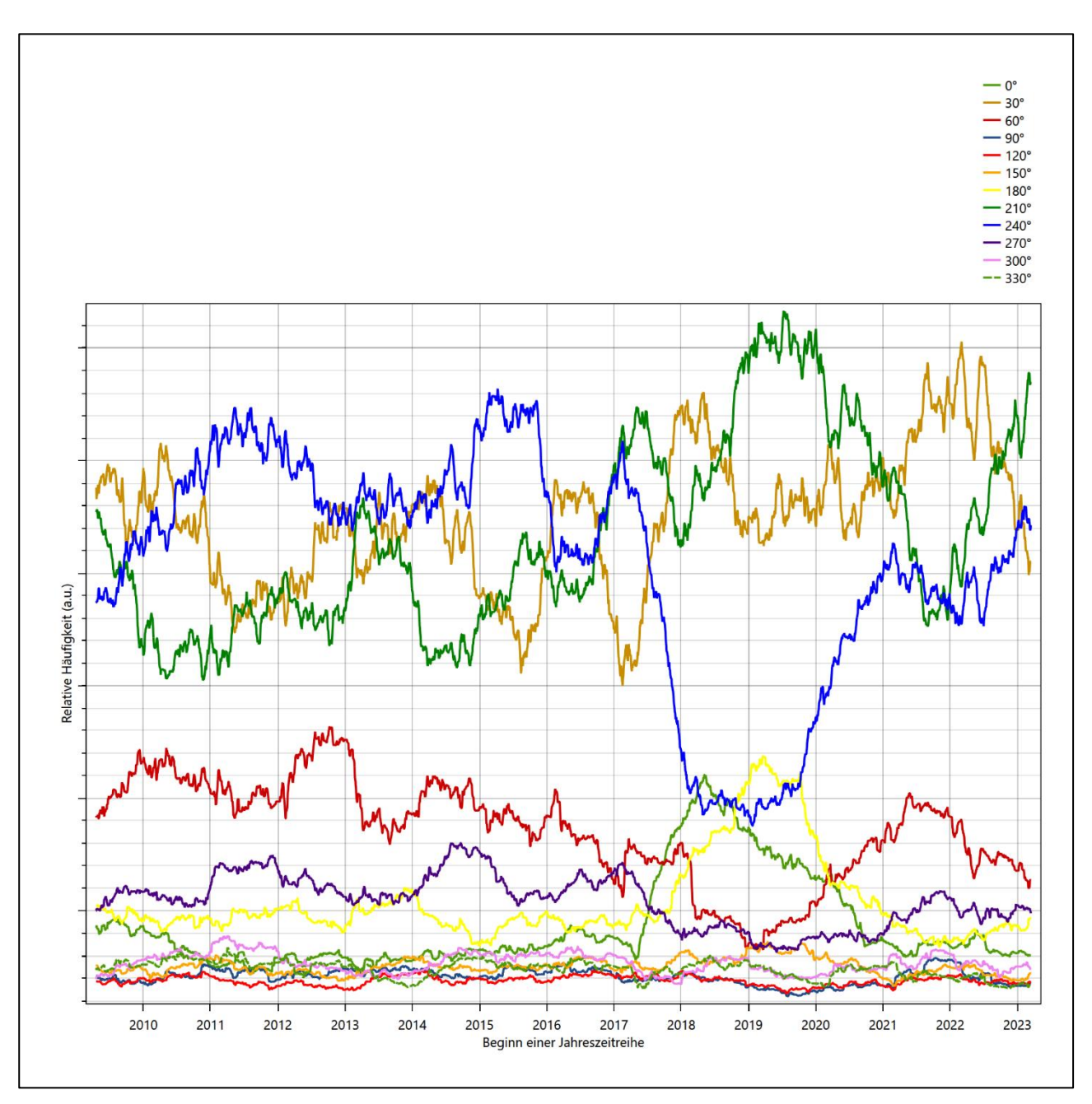


Abbildung 4: Prüfung auf vollständige und homogene Daten der Windmessstation anhand der Windrichtungsverteilung

2. Juli 2024 10 / 30



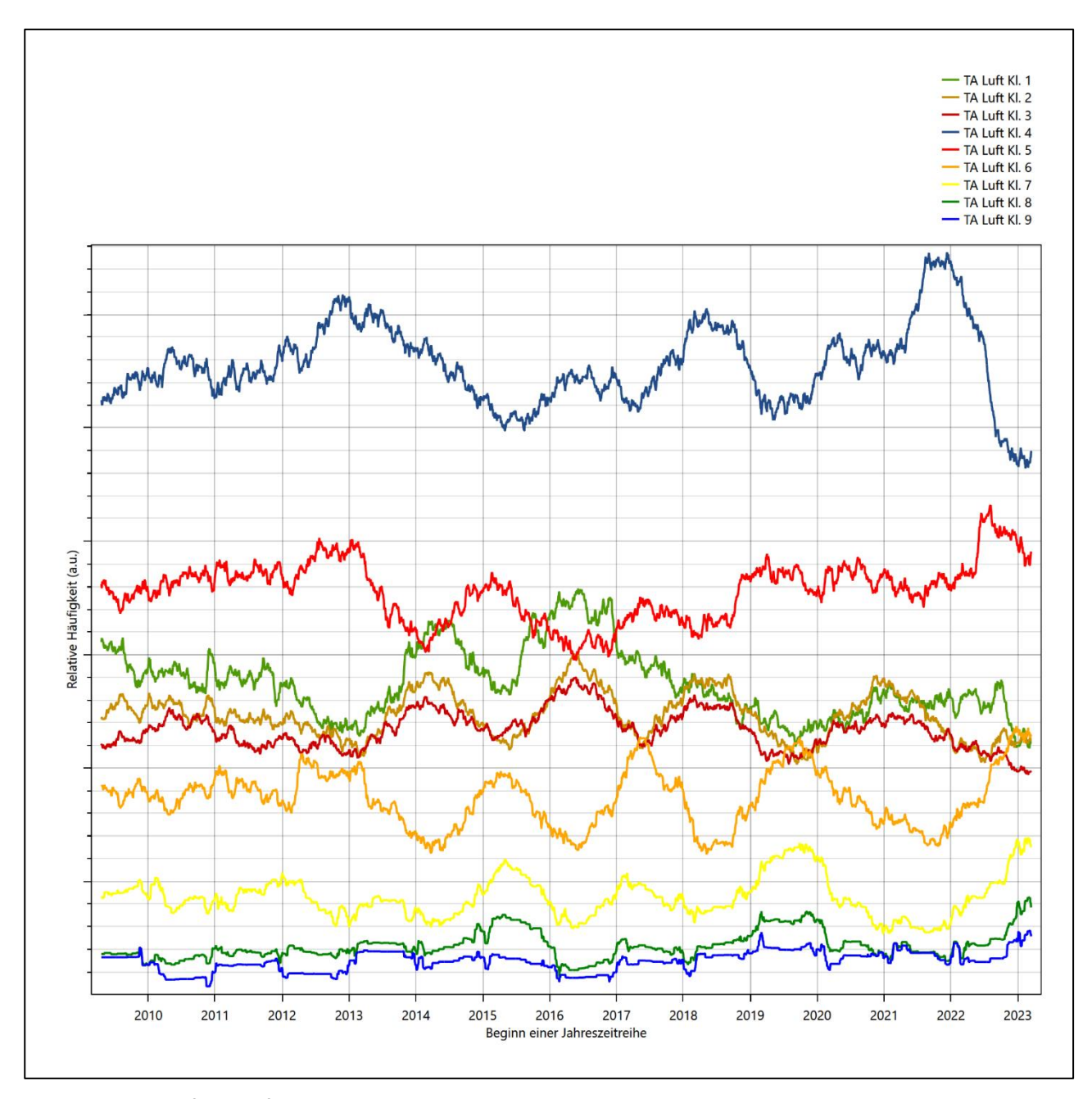


Abbildung 5: Prüfung auf vollständige und homogene Daten der Windmessstation anhand der Windgeschwindigkeitsverteilung

2. Juli 2024 11 / 30



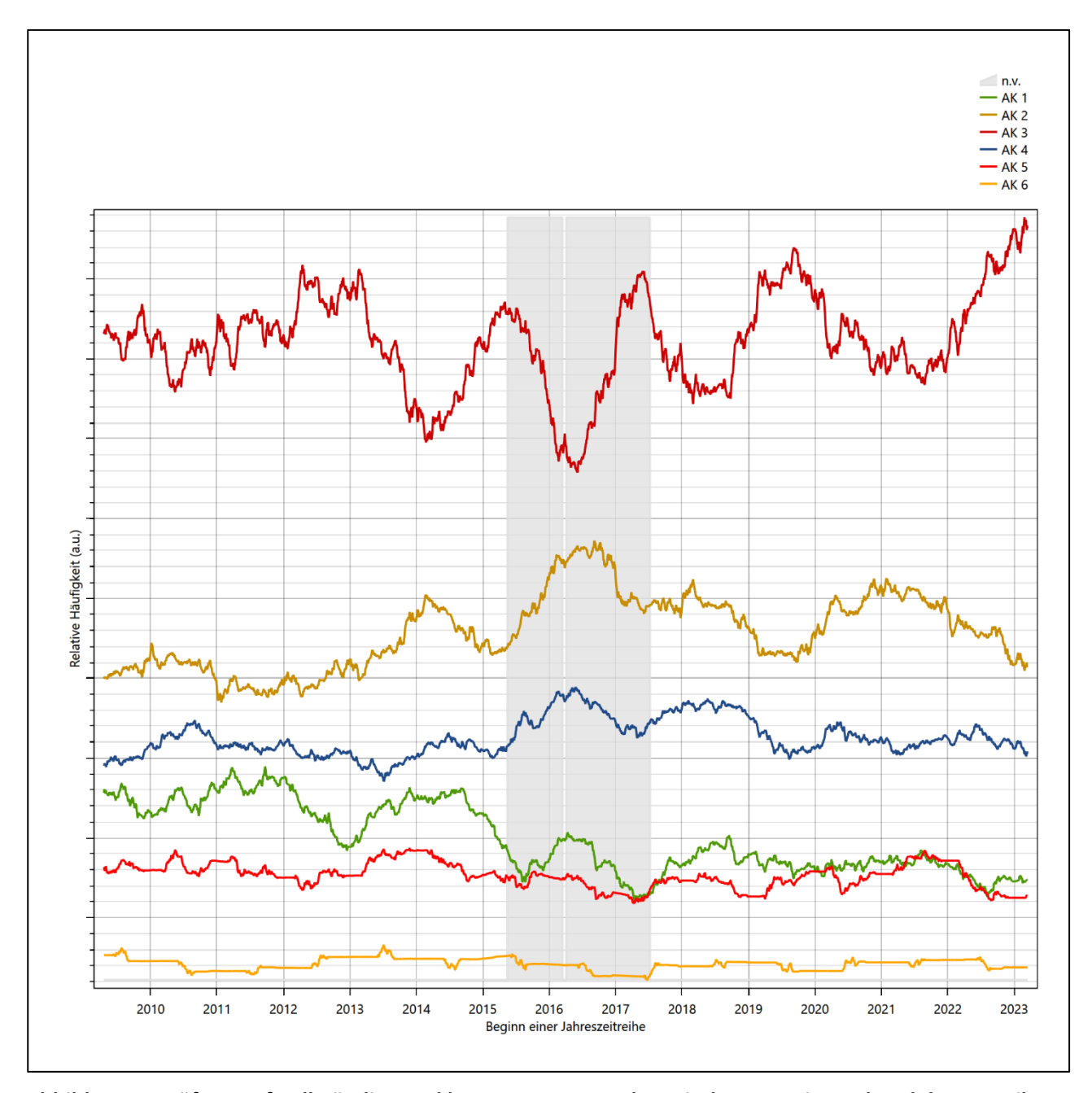


Abbildung 6: Prüfung auf vollständige und homogene Daten der Windmessstation anhand der Verteilung der Ausbreitungsklasse

Für die Bestimmung eines repräsentativen Jahres werden Daten aus einem Gesamtzeitraum mit einheitlicher Höhe des Messwertgebers vom 19.04.2009 bis zum 14.03.2024 verwendet.

Grau dargestellte Bereiche in Abbildung 6 markieren Messlücken bei der Bestimmung des Bedeckungsgrades (notwendig für die Ermittlung der Ausbreitungsklassen), weshalb für diese Zeiträume keine Jahreszeitreihe mit der notwendigen Verfügbarkeit von 90% gebildet werden konnte. Diese Bereiche werden auch später bei der Bestimmung des repräsentativen Jahres nicht mit einbezogen.

Wie aus den Grafiken erkennbar ist, gab es in den auswertbaren (nicht grau hinterlegten) Zeiträumen keine systematischen bzw. tendenziellen Änderungen an der Windrichtungsverteilung und der Windgeschwindigkeitsverteilung. Die Datenbasis ist also homogen und lang genug, um ein repräsentatives Jahr auszuwählen.

2. Juli 2024 12 / 30



# 3.2 Analyse der Verteilungen von Windrichtung, Windgeschwindigkeit, Ausbreitungsklasse sowie der Nacht- und Schwachwinde

In diesem Schritt werden die bereits zum Zwecke der Homogenitätsprüfung gebildeten Verteilungen dem  $\chi^2$ -Test zum Vergleich empirischer Häufigkeitsverteilungen unterzogen. Dieser  $\chi^2$ -Test wird zunächst für den gesamten Repräsentationszeitraum (im folgenden "Gesamtzeitraum") durchgeführt, auch wenn anschließend das repräsentative Jahr dann nur aus dem kürzeren UBA-Zeitraum ausgewählt werden kann. Das erlaubt eine Abschätzung auch, ein wie viel besseres repräsentatives Jahr gefunden werden könnte, wenn die Beschränkung auf den UBA-Zeitraum nicht nötig wäre bzw. UBA-Niederschlagsdaten für den Gesamtzeitraum zur Verfügung ständen.

Bei der Suche nach einem repräsentativen Jahr werden dabei alle Zeiträume untersucht, die innerhalb des Gesamtzeitraumes an einem 1. Januar beginnen, am 31. Dezember desselben Jahres enden und bei denen ausreichend Messdaten verfügbar sind.

Bei der gewählten Vorgehensweise werden die  $\chi^2$ -Terme der Einzelzeiträume untersucht, die sich beim Vergleich mit dem Gesamtzeitraum ergeben. Diese Terme lassen sich bis zu einem gewissen Grad als Indikator dafür ansehen, wie ähnlich die Einzelzeiträume dem mittleren Zustand im Gesamtzeitraum sind. Dabei gilt, dass ein Einzelzeitraum dem mittleren Zustand umso näherkommt, desto kleiner der zugehörige  $\chi^2$ -Term (die Summe der quadrierten und normierten Abweichungen von den theoretischen Häufigkeiten entsprechend dem Gesamtzeitraum) ist. Durch die Kenntnis dieser einzelnen Werte lässt sich daher ein numerisches Maß für die Ähnlichkeit der Einzelzeiträume mit dem Gesamtzeitraum bestimmen.

In Analogie zur Untersuchung der Windrichtungen wird ebenfalls für die Verteilung der Windgeschwindigkeiten (auf die TA Luft-Klassen, siehe oben) ein  $\chi^2$ -Test durchgeführt. So lässt sich auch für die Windgeschwindigkeitsverteilung ein Maß dafür finden, wie ähnlich die ein Jahr langen Einzelzeiträume dem Gesamtzeitraum sind.

Weiterhin wird die Verteilung der Ausbreitungsklassen in den Einzelzeiträumen mit dem Gesamtzeitraum verglichen.

Schließlich wird eine weitere Untersuchung der Windrichtungsverteilung durchgeführt, wobei jedoch das Testkollektiv gegenüber der ersten Betrachtung dieser Komponente dadurch beschränkt wird, dass ausschließlich Nacht- und Schwachwinde zur Beurteilung herangezogen werden. Der Einfachheit halber wird dabei generell der Zeitraum zwischen 18:00 und 6:00 Uhr als Nacht definiert, d.h. auf eine jahreszeitliche Differenzierung wird verzichtet. Zusätzlich darf die Windgeschwindigkeit 3 m/s während dieser nächtlichen Stunden nicht überschreiten. Die bereits bestehende Einteilung der Windrichtungssektoren bleibt hingegen ebenso unverändert wie die konkrete Anwendung des  $\chi^2$ -Tests.

Als Ergebnis dieser Untersuchungen stehen für die einzelnen Testzeiträume jeweils vier Zahlenwerte zur Verfügung, die anhand der Verteilung von Windrichtung, Windgeschwindigkeit, Ausbreitungsklasse und der Richtung von Nacht- und Schwachwinden die Ähnlichkeit des Testzeitraumes mit dem Gesamtzeitraum ausdrücken. Um daran eine abschließende Bewertung vornehmen zu können, werden die vier Werte gewichtet addiert, wobei die Windrichtung mit 0,36, die Windgeschwindigkeit mit 0,24, die Ausbreitungsklasse mit 0,25 und die Richtung der Nacht- und Schwachwinde mit 0,15 gewichtet wird. Die Wichtefaktoren wurden aus VDI-Richtlinie 3783 Blatt 20 [1] entnommen. Als Ergebnis erhält man einen Indikator für die Güte der Übereinstimmung eines jeden Testzeitraumes mit dem Gesamtzeitraum.

2. Juli 2024 13 / 30



In der folgenden Grafik ist dieser Indikator dargestellt, wobei auch zu erkennen ist, wie sich dieser Wert aus den einzelnen Gütemaßen zusammensetzt. Auf der Abszisse ist jeweils der Beginn des Einzelzeitraums mit einem Jahr Länge abgetragen.

Dabei werden nur die Zeitpunkte graphisch dargestellt, für die sich in Kombination mit Messungen der Bedeckung eine Jahreszeitreihe bilden lässt, die mindestens eine Verfügbarkeit von 90 % hat. Ausgesparte Bereiche stellen Messzeiträume an der Station dar, in denen aufgrund unvollständiger Bedeckungsdaten keine Zeitreihe mit dieser Verfügbarkeit zu erstellen ist (siehe oben).

Endlich wird derjenige Testzeitraum gesucht, dessen gewichtete  $\chi^2$ -Summe innerhalb des UBA-Zeitraumes den kleinsten Wert annimmt (vertikale Linie). Diese Jahreszeitreihe ist unter allen im UBA-Zeitraum verfügbaren als diejenige anzusehen, die dem gesamten Repräsentationszeitraum im Rahmen der durchgeführten Untersuchungen am ähnlichsten ist. Sie beginnt im vorliegenden Fall am 01.01.2010 und läuft dann bis zum 31.12.2010. Das ist die hier ermittelte repräsentative Jahreszeitreihe.

2. Juli 2024 14/30



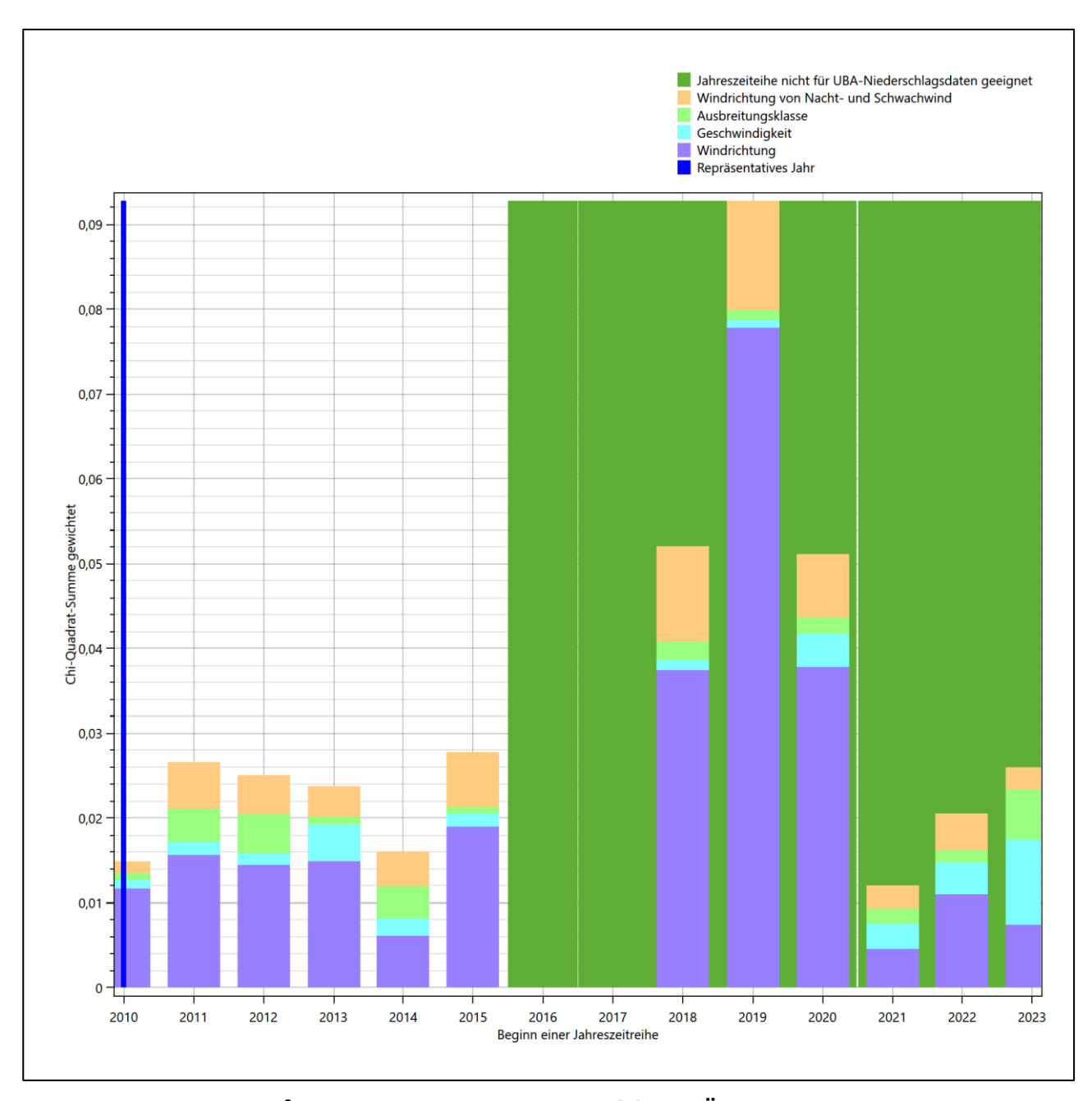


Abbildung 7: Gewichtete  $\chi^2$ -Summe und Einzelwerte als Maß für die Ähnlichkeit der einzelnen Testzeiträume zu je einem Jahr (Jahreszeitreihe) mit dem Gesamtzeitraum

## 3.3 Prüfung auf Plausibilität

Der im vorigen Schritt innerhalb des UBA-Zeitraumes gefundene Testzeitraum mit der größten Ähnlichkeit zum Gesamtzeitraum erstreckt sich vom 01.01.2010 bis zum 31.12.2010. Inwieweit diese Jahreszeitreihe tatsächlich für den Gesamtzeitraum repräsentativ ist, soll anhand einer abschließenden Plausibilitätsprüfung untersucht werden.

Dazu sind in den folgenden Abbildungen die Verteilungen der Windrichtung, der Windgeschwindigkeit, der Ausbreitungsklasse und der Richtung von Nacht- und Schwachwinden für die ausgewählte Jahreszeitreihe dem Gesamtzeitraum gegenübergestellt.

2. Juli 2024 15 / 30



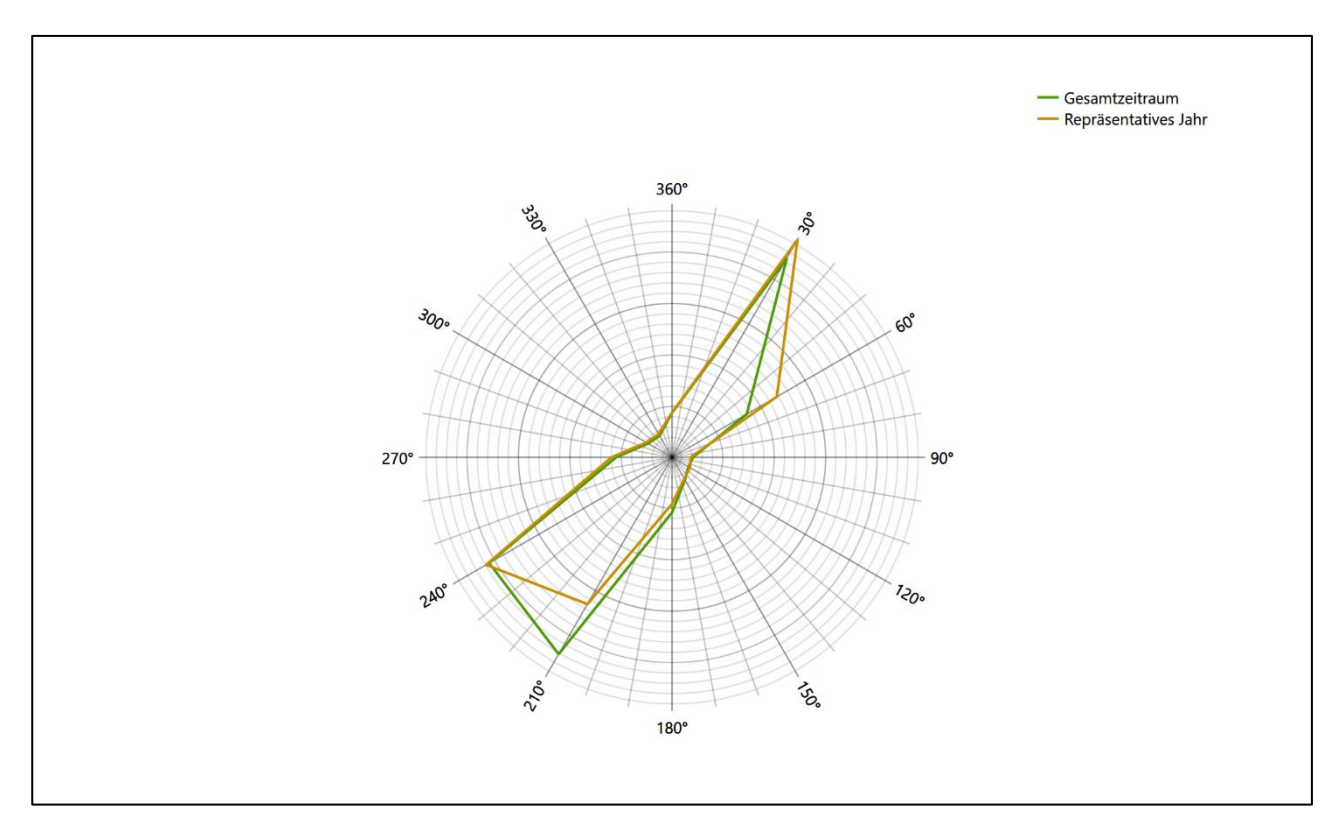


Abbildung 8: Vergleich der Windrichtungsverteilung für die ausgewählte Jahreszeitreihe mit dem Gesamtzeitraum

2. Juli 2024 16 / 30



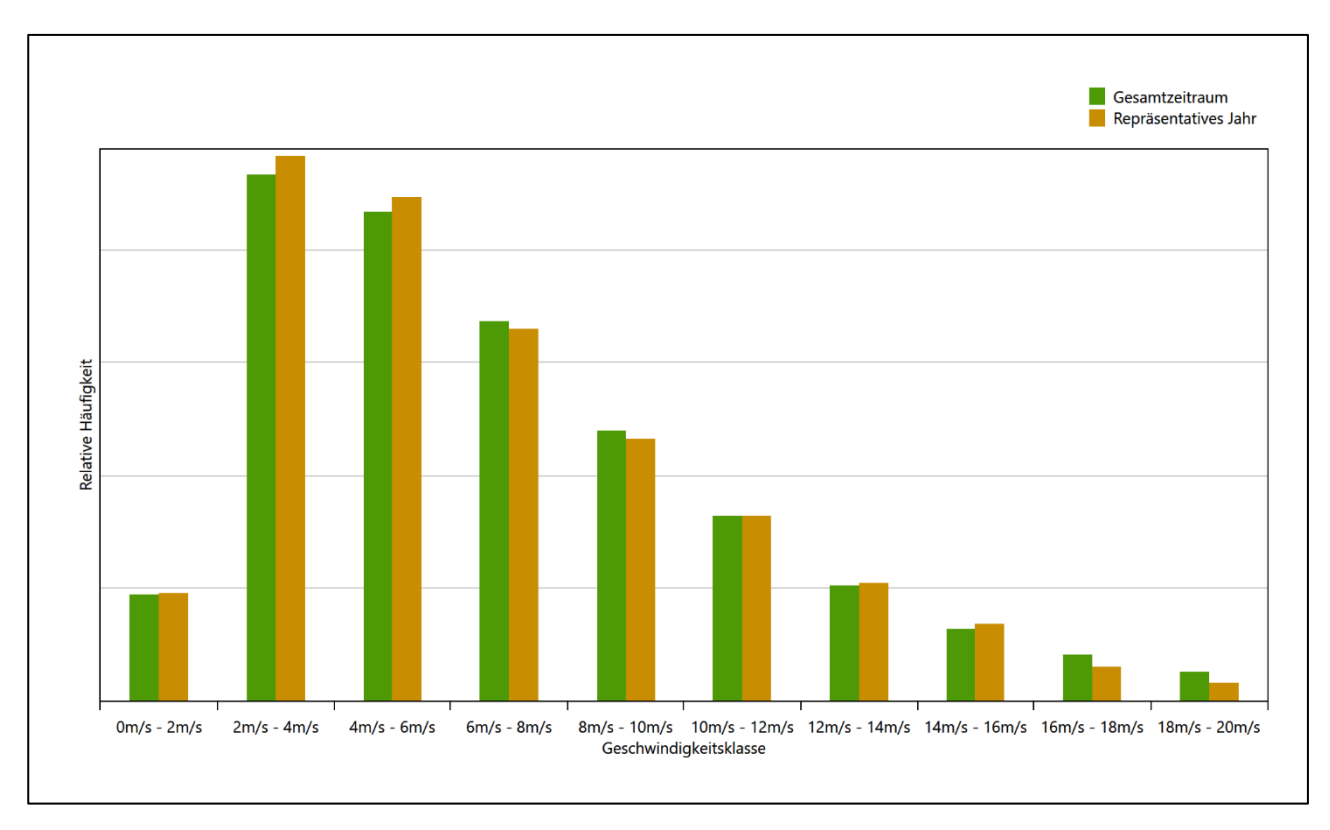


Abbildung 9: Vergleich der Windgeschwindigkeitsverteilung für die ausgewählte Jahreszeitreihe mit dem Gesamtzeitraum

2. Juli 2024 17 / 30



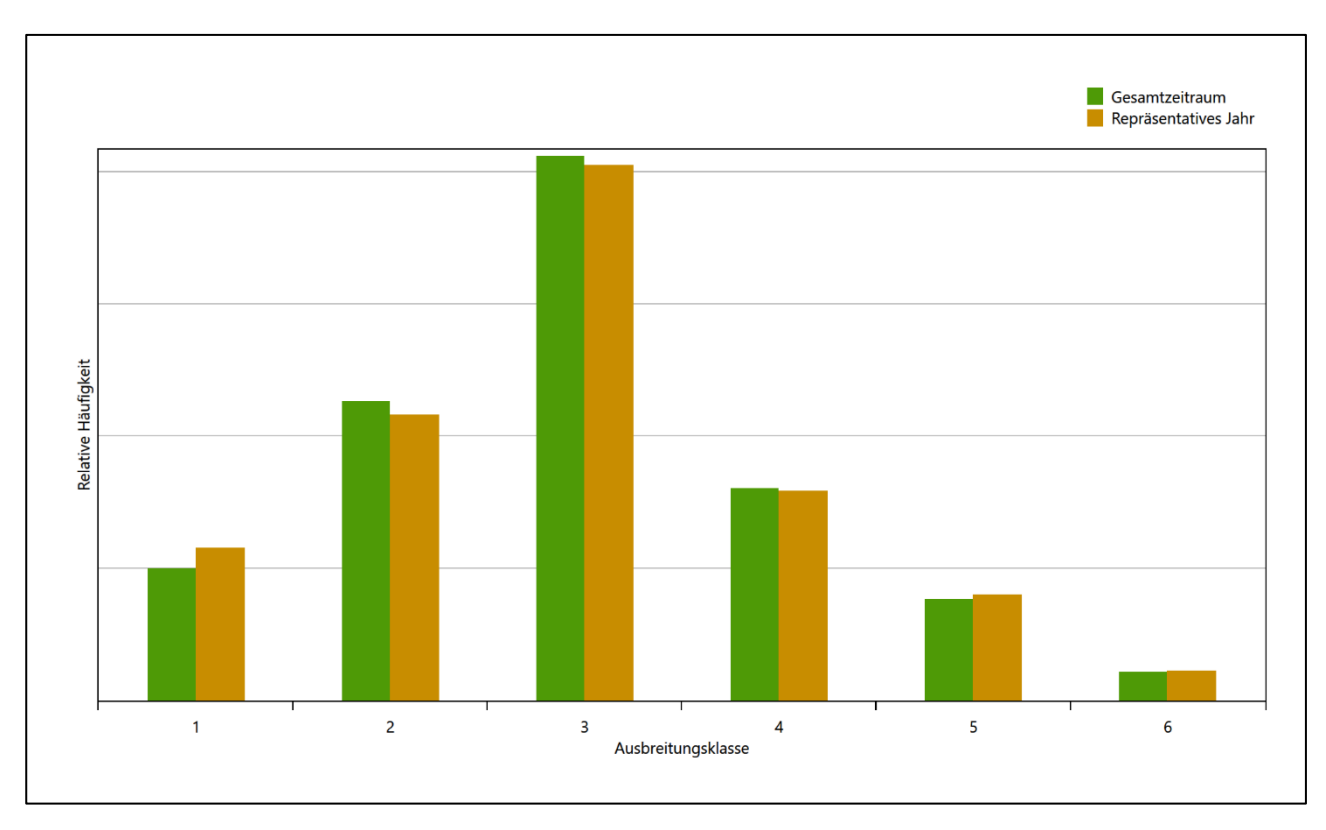


Abbildung 10: Vergleich der Verteilung der Ausbreitungsklasse für die ausgewählte Jahreszeitreihe mit dem Gesamtzeitraum

2. Juli 2024 18 / 30



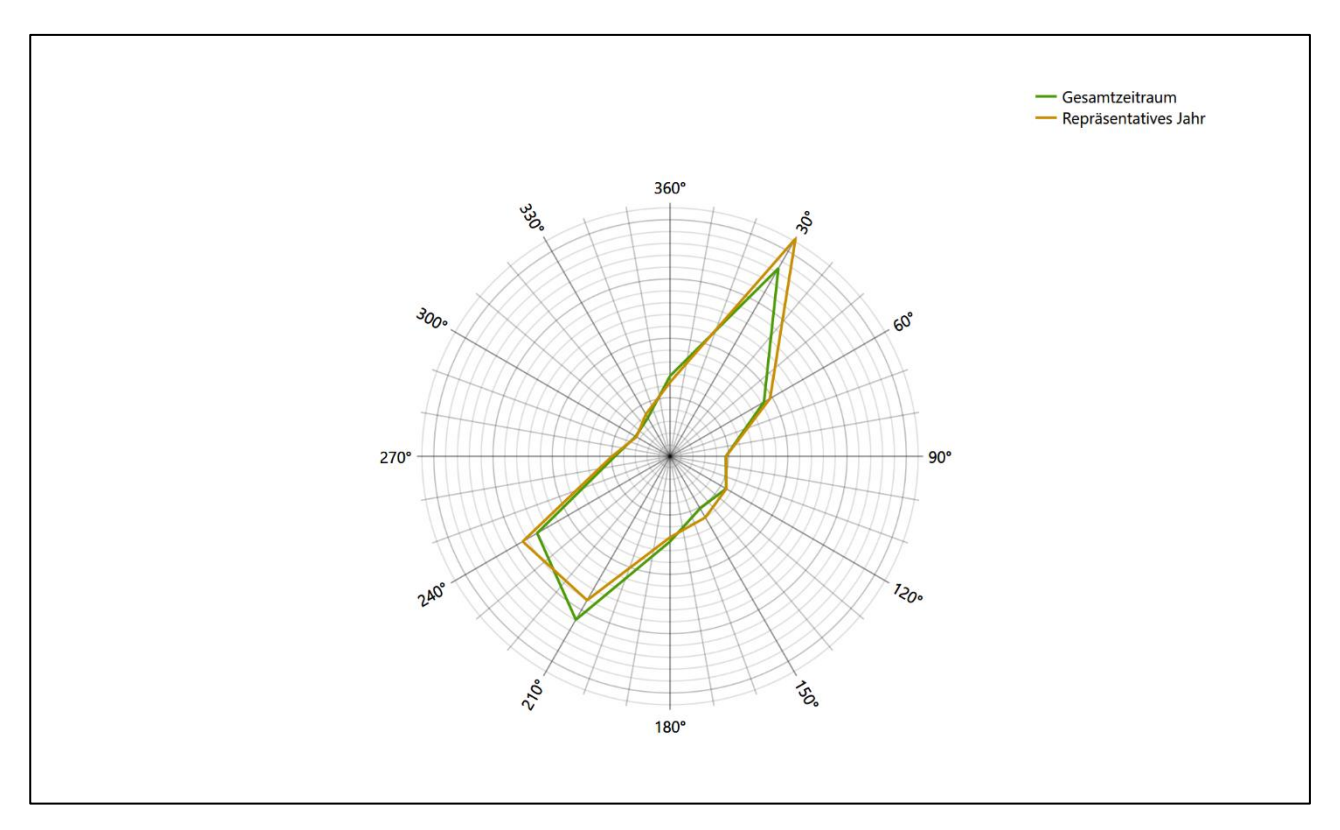


Abbildung 11: Vergleich der Richtungsverteilung von Nacht- und Schwachwinden für die ausgewählte Jahreszeitreihe mit dem Gesamtzeitraum

Anhand der Grafiken ist erkennbar, dass sich die betrachteten Verteilungen für die ausgewählte Jahreszeitreihe kaum von denen des Gesamtzeitraumes unterscheiden.

Daher kann davon ausgegangen werden, dass der Zeitraum vom 01.01.2010 bis zum 31.12.2010 ein repräsentatives Jahr für die Station Trier-Petrisberg im betrachteten Gesamtzeitraum vom 19.04.2009 bis zum 14.03.2024 ist.

2. Juli 2024 19/30



## 4 Beschreibung der Datensätze

#### 4.1 Effektive aerodynamische Rauigkeitslänge

#### 4.1.1 Theoretische Grundlagen

Die Bestimmung der effektiven aerodynamischen Rauigkeitslänge wird gemäß dem DWD-Merkblatt "Effektive Rauigkeitslänge aus Windmessungen" [2] vorgenommen. Ausgangspunkt der Betrachtungen ist, dass die Rauigkeitsinformation über luvseitig des Windmessgerätes überströmte heterogene Oberflächen aus den gemessenen Winddaten extrahiert werden kann. Insbesondere Turbulenz und Böigkeit der Luftströmung tragen diese Informationen in sich.

Der Deutsche Wetterdienst stellt die zur Auswertung benötigten Messwerte über ausreichend große Zeiträume als 10-Minuten-Mittelwerte zur Verfügung. Unter anderem sind dies die mittlere Windgeschwindigkeit  $\overline{u}$ , die maximale Windgeschwindigkeit  $u_{max}$ , die mittlere Windrichtung und die Standardabweichung der Longitudinalkomponente  $\sigma_u$ .

Zur Bestimmung der effektiven aerodynamischen Rauigkeit aus diesen Messwerten muss die Art des Messgerätes Berücksichtigung finden, da eine Trägheit der Apparatur Einfluss auf die Dynamik der Windmessdaten ausübt. In diesem Zusammenhang müssen Dämpfungsfaktoren bestimmt werden, die sich für digital, nicht trägheitslose Messverfahren nach den Verfahren von Beljaars (Dämpfungsfaktor  $A_B$ ) [3], [4] und für analoge nach dem Verfahren von Wieringa (Dämpfungsfaktor  $A_W$ ) [5], [6] ermitteln lassen.

Ausgangspunkt aller Betrachtungen ist das logarithmische vertikale Windprofil in der Prandtl-Schicht für neutraler Schichtung. Die Geschwindigkeit nimmt dann wie folgt mit der Höhe z zu:

$$\bar{u}(z) = \frac{u_*}{\kappa} \ln\left(\frac{z - d}{z_0}\right) \tag{1}$$

hierbei stellen z die Messhöhe,  $z_0$  die Rauigkeitslänge,  $u_*$  die Schubspannungsgeschwindigkeit, die sich aus  $\sigma_u=\mathcal{C}u_*$  berechnen lässt,  $\kappa\approx0.4$  die Von-Karman-Konstante und d=B  $z_0$  die Verdrängungshöhe dar. Im Folgenden seien dabei Werte C=2.5 (neutrale Schichtung) und B=6 verwendet, die in der VDI-Richtlinie 3783, Blatt 8 [7] begründet werden. In späteren Anwendungen wird Gleichung (1) nach  $z_0$  aufgelöst. Zur Wahrung der Voraussetzungen dieser Theorie in der Prandtl-Schicht ergeben sich folgende Forderungen für die mittlere Windgeschwindigkeit  $\overline{u}$  und die Turbulenzintensität I:

$$\overline{u}_i \ge \overline{u}_{min} = 5 \text{ms}^{-1} \tag{2}$$

und

2. Juli 2024 20 / 30



$$I = \frac{\sigma_u}{\bar{u}} = \frac{1}{A_B} \frac{\sigma_{u,m}}{\bar{u}} < 0.5 \tag{3}$$

Die Forderung nach neutraler Schichtung resultiert in einer minimalen, mittleren Windgeschwindigkeit  $\overline{u}_{min}$ , die nicht unterschritten werden sollte (2), und die Einhaltung der näherungsweisen Konstanz der turbulenten Flüsse, der "eingefrorenen Turbulenz", (3). Beides wird im Merkblatt des Deutschen Wetterdienstes [2] anhand der Literatur begründet. Der Index "m" steht dabei für gemessene Werte und "i" bezeichnet alle Werte, die nach diesen Kriterien zur Mittelung herangezogen werden können.

Das folgende Schema, das im Anschluss näher erläutert wird, zeigt den Ablauf des Verfahrens je nach verwendeter Gerätetechnik.

2. Juli 2024 21/30



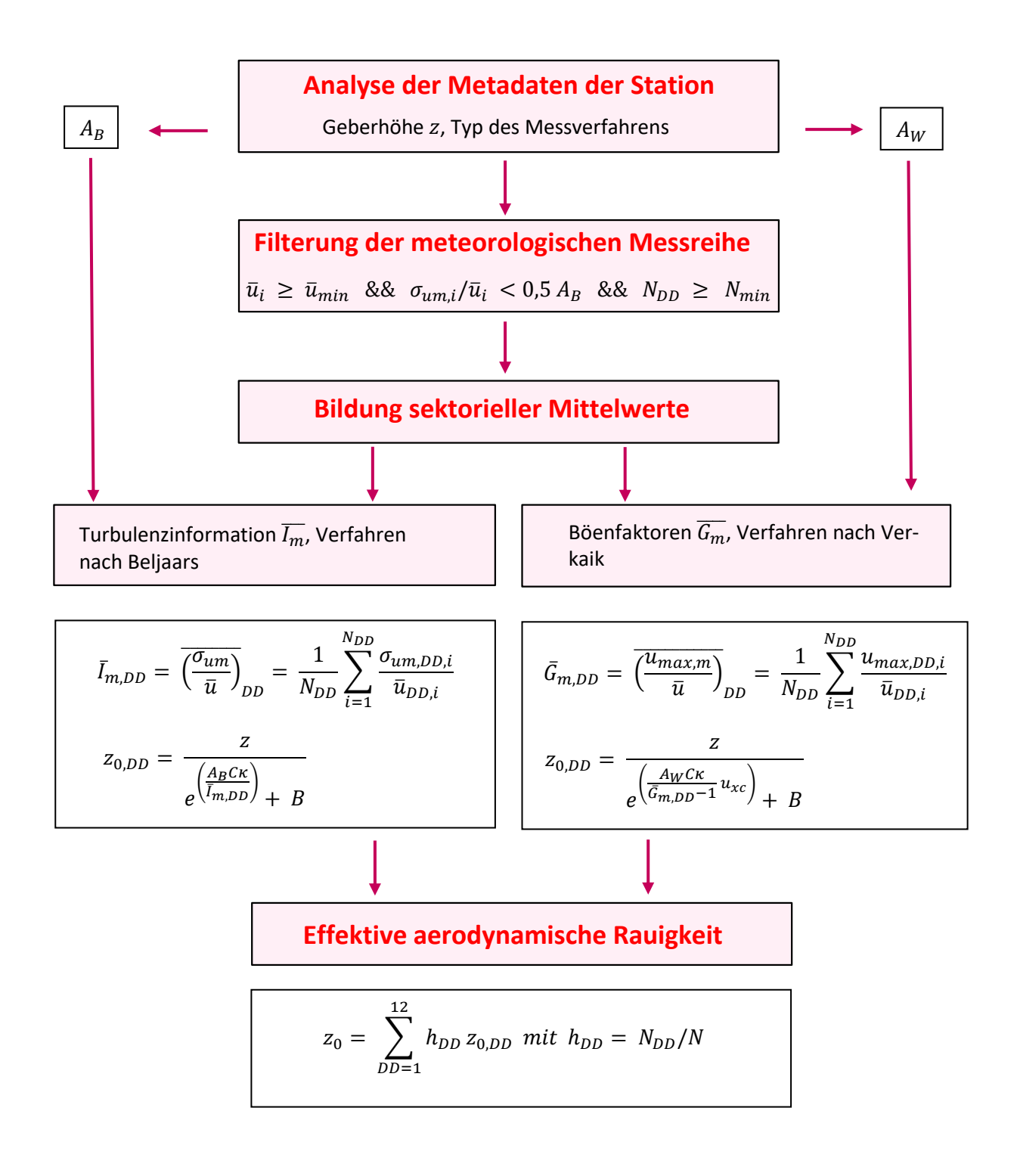


Abbildung 12: Schematischer Ablauf zur Bestimmung der effektiven aerodynamischen Rauigkeit

Im Merkblatt des Deutschen Wetterdienstes [2] stellt sich der Algorithmus zur Berechnung der effektiven aerodynamischen Rauigkeit über die nachfolgend beschriebene Schrittfolge dar: Zunächst müssen die Metadaten der Station nach Höhe des Windgebers über Grund (Geberhöhe z) und nach Art des Messverfahrens

2. Juli 2024 22 / 30



durchsucht werden, um die Dämpfungsfaktoren  $A_B$  oder  $A_W$  zuzuordnen. Unter Beachtung von Gleichung (2) stellt man für den untersuchten Zeitraum sicher, dass mindestens 6 Werte pro Windrichtungsklasse zur Verfügung stehen. Ist dies nicht der Fall, reduziert man sukzessive den Schwellwert  $\overline{u}_{min}$  von 5 ms<sup>-1</sup> auf 4 ms<sup>-1</sup>, bis die Bedingung erfüllt ist. Eine Untergrenze des Schwellwertes von 3 ms<sup>-1</sup>, wie sie im DWD-Merkblatt Erwähnung findet, wird hier nicht zur Anwendung gebracht, um die Forderung nach neutraler Schichtung möglichst konsequent durchzusetzen. Kann man darüber die Mindestzahl von 6 Messungen pro Windrichtungssektor nicht erreichen, erweitert man die zeitliche Basis symmetrisch über den anfänglich untersuchten Zeitraum hinaus und wiederholt die Prozedur.

Anhand der vorgefundenen Messtechnik entscheidet man, ob die gemessene Turbulenzinformation  $\overline{I_m}$  (Verfahren nach Beljaars, prioritäre Empfehlung) oder der gemessene Böenfaktor  $\overline{G_m}$  (Verfahren nach Verkaik bzw. Wieringa) verwendet werden kann. Danach werden in jedem Fall sektorielle Mittelwerte für jede Windrichtungsklasse gebildet, entweder  $\overline{I_{m,DD}}$  für die Turbulenzinformation oder  $\overline{G_{m,DD}}$  für die Böenfaktoren. Dies führt dann zu jeweiligen sektoriellen Rauigkeiten  $z_{o,DD}$ . Aus diesen wird schließlich durch gewichtete Mittelung die effektive aerodynamische Rauigkeit der Station ermittelt, wobei als Wichtefaktoren der Sektoren die jeweilige Häufigkeit der Anströmung aus diesem Sektor verwendet wird.

#### 4.1.2 Bestimmung der effektiven aerodynamischen Rauigkeit im konkreten Fall

#### 4.1.3 Bestimmung der effektiven aerodynamischen Rauigkeit im konkreten Fall

Die effektive aerodynamische Rauigkeit musste im vorliegenden Fall für die Station Trier-Petrisberg und den Zeitraum vom 01.01.2010 bis zum 31.12.2010 bestimmt werden. Als Messwertgeber wurde aus den Daten des Deutschen Wetterdienstes das System "Windsensor Classic 4.3303" (Windmessung, elektr.) entnommen. Damit steht zur Rauigkeitsbestimmung das Verfahren nach Beljaars zur Verfügung. Für den Parameter  $A_B$  ergibt sich dabei ein Wert von 0,9. Die Von-Karman-Konstante  $\kappa$  wird konventionsgemäß mit 0,4 angesetzt, weiterhin sind B konventionsgemäß mit 6 und C mit 2,5 angesetzt.

Um für jeden Windrichtungssektor wenigstens sechs Einzelmessungen bei neutraler Schichtung zu erreichen, war der Schwellwert  $\overline{u}_{min}$  auf 3,0 ms<sup>-1</sup> abzusenken und zusätzlich der Zeitraum auf den 09.08.2008 bis zum 23.03.2020 auszudehnen. In der nachfolgenden Tabelle sind die Anzahl der pro Windrichtungssektor verwendeten Einzelmessungen und die daraus ermittelten Sektorenrauigkeiten angegeben.

Tabelle 2: Anzahl der Einzelmessungen und Sektorenrauigkeiten für die Station Trier-Petrisberg

Sektor um	Anzahl der Einzelmessungen	Rauigkeit im Sektor [m]
0°	91	0,399 m
30°	513	0,174 m
60°	315	0,349 m
90°	18	1,085 m
120°	17	0,305 m
150°	159	0,107 m
180°	1383	0,075 m
210°	4168	0,127 m
240°	1256	0,339 m
270°	269	0,698 m
300°	63	1,188 m

2. Juli 2024 23 / 30



330°	7 1,143	m
------	---------	---



Abbildung 13: Verteilung der effektiven aerodynamischen Rauigkeiten auf die Windrichtungssektoren für die Station Trier-Petrisberg

Aus der mit den Anströmhäufigkeiten gewichteten Mittelung ergibt sich schließlich für die Station Trier-Petrisberg eine effektive aerodynamische Rauigkeit von 0,194 m.

Mit Erscheinen des aktualisierten DWD-Merkblattes zur Bestimmung der effektiven aerodynamischen Rauigkeitslänge [8] ist angeraten, die aus Windmessungen ermittelten Rauigkeiten einer am Ergebnis orientierten Qualitätsprüfung zu unterziehen. Dies ist auch im vorliegenden Fall geschehen. Dabei hat sich gezeigt, dass die aus Windmessungen bestimmte effektive aerodynamische Rauigkeitslänge um mehr als den Faktor 2 von dem Wert abweicht, der mit dem wesentlich stabileren Verfahren zur Rauigkeitsbestimmung aus der Landnutzung [9] ermittelt wurde. Aus diesem Grund wird hier von der Verwendung der aus Windmessungen

2. Juli 2024 24 / 30



bestimmten effektiven aerodynamischen Rauigkeitslänge abgesehen. Stattdessen wird der mit dem TK-Verfahren [9] bestimmte Wert von 0,822 m verwendet. Gewonnen wurde dieser wie folgt:

Abbildung 14 zeigt die Verteilung der Bodenrauigkeit um den Standort; die Daten wurden dem CORINE-Kataster [10] entnommen.

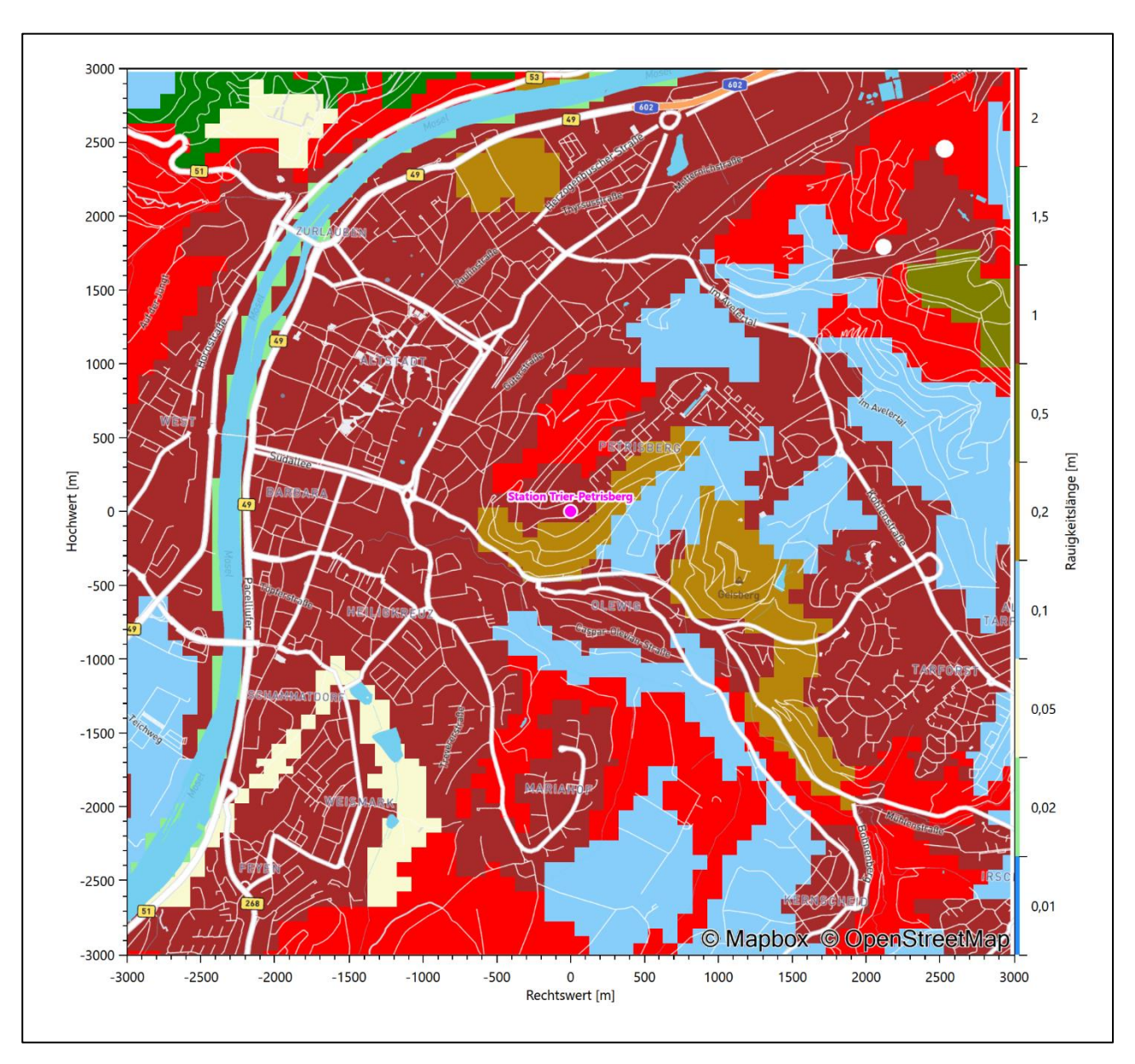


Abbildung 14: Rauigkeitslänge in Metern in der Umgebung der Station nach CORINE-Datenbank

Die aerodynamisch wirksame Rauigkeitslänge wurde über ein Gebiet mit Radius von 3 km um die Station ermittelt, wobei für jede Anströmrichtung die Rauigkeit im zugehörigen Sektor mit der relativen Häufigkeit der Anströmung aus diesem Sektor gewichtet wurde. Für die Station Trier-Petrisberg ergibt das im betrachteten Zeitraum vom 01.01.2010 bis zum 31.12.2010 den schon genannten Wert von 0,822 m.

2. Juli 2024 25 / 30



# 4.2 Rechnerische Anemometerhöhen in Abhängigkeit von der Rauigkeitsklasse

Die für Ausbreitungsrechnungen notwendigen Informationen zur Anpassung der Windgeschwindigkeiten an die unterschiedlichen mittleren aerodynamischen Rauigkeiten zwischen der Windmessung (Station Trier-Petrisberg) und der Ausbreitungsrechnung werden durch die Angabe von 9 Anemometerhöhen in der Zeitreihendatei gegeben.

Je nachdem, wie stark sich die Rauigkeit an der ausgewählten Bezugswindstation von der für die Ausbreitungsrechnung am Standort verwendeten Rauigkeit unterscheiden, werden die Windgeschwindigkeiten implizit skaliert. Dies geschieht nicht durch formale Multiplikation aller Geschwindigkeitswerte mit einem geeigneten Faktor, sondern durch die Annahme, dass die an der Bezugswindstation gemessene Geschwindigkeit nach Übertragung an die EAP dort einer größeren oder kleineren (oder im Spezialfall auch derselben) Anemometerhöhe zugeordnet wird. Über das logarithmische Windprofil in Bodennähe wird durch die Verschiebung der Anemometerhöhe eine Skalierung der Windgeschwindigkeiten im berechneten Windfeld herbeigeführt.

Die aerodynamisch wirksame Rauigkeitslänge an der Bezugswindstation Trier-Petrisberg wurde nach dem im Abschnitt 4.1.2 beschriebenen Verfahren berechnet. Für Trier-Petrisberg ergibt das im betrachteten Zeitraum vom 01.01.2010 bis zum 31.12.2010 einen Wert von etwa 0,822 m. Daraus ergeben sich die folgenden, den Rauigkeitsklassen der TA Luft zugeordneten Anemometerhöhen. Das Berechnungsverfahren dazu wurde VDI-Richtlinie 3783 Blatt 8 [7] entnommen.

Tabelle 3: Rechnerische Anemometerhöhen in Abhängigkeit von der Rauigkeitsklasse für die Station Trier-Petrisberg

Rauigkeitsklasse [m]:	0,01	0,02	0,05	0,10	0,20	0,50	1,00	1,50	2,00
Anemometerhöhe [m]:	4,0	4,0	4,9	6,7	9,2	14,5	20,9	26,2	31,0

### 4.3 Ausbreitungsklassenzeitreihe

Aus den Messwerten der Station Trier-Petrisberg für Windgeschwindigkeit, Windrichtung und Bedeckung wurde eine Ausbreitungsklassenzeitreihe gemäß den Vorgaben der TA Luft und VDI-Richtlinie 3782 Blatt 6 erstellt. Die gemessenen meteorologischen Daten werden als Stundenmittel angegeben, wobei die Windgeschwindigkeit vektoriell gemittelt wird. Die Verfügbarkeit der Daten soll nach TA Luft mindestens 90 % der Jahresstunden betragen. Im vorliegenden Fall wurde eine Verfügbarkeit von 98 % bezogen auf das repräsentative Jahr vom 01.01.2010 bis zum 31.12.2010 erreicht.

Die rechnerischen Anemometerhöhen gemäß Tabelle 3 wurden im Dateikopf hinterlegt.

### 4.4 Ausbreitungsklassenzeitreihe mit Niederschlag

Voraussetzung für die Berechnung der nassen Deposition ist ein meteorologischer Datensatz, der Informationen zur Niederschlagsintensität enthält. Das Standardformat AKTERM wurde zu diesem Zweck erweitert, um eine Ausbreitungsklassenzeitreihe mit Niederschlagsinformationen in zwei zusätzlichen Datenspalten unterzubringen. Für den vorliegenden Fall wurde eine solche Ausbreitungsklassenzeitreihe mit Niederschlag erzeugt.

2. Juli 2024 26 / 30



Die stündliche Niederschlagsmenge wurde dabei aus dem RESTNI-Datensatz des Umweltbundesamtes übernommen. Ziel des Projektes RESTNI (Regionalisierung stündlicher Niederschläge zur Modellierung der nassen Deposition) an der Leibniz Universität Hannover war es gewesen, nach einem einheitlichen, objektiven und transparenten Verfahren vergleichbare Niederschlagsdaten für eine bundeseinheitliche Bemessungspraxis zur Ermittlung der nassen Deposition bereitzustellen. Die Bereitstellung der genannten Daten erfolgte regionalisiert und flächendeckend für ganz Deutschland. Hierfür wurde eine hoch aufgelöste Regionalisierung der Variablen mittels geostatistischer Interpolationsmethoden durchgeführt. Für den hier erzeugten Datensatz wurde auf die regionalisierte Niederschlagsmenge für den Standort 32333625 (Rechtswert/Ostwert) und 5516105 (Hochwert/Nordwert) im RESTNI-Datensatz zurückgegriffen.

Für den Zeitraum der bereitgestellten Ausbreitungsklassenzeitreihe vom 01.01.2010 bis zum 31.12.2010 beträgt die gesamte Niederschlagsmenge 706.7 mm. Das langjährige Mittel (entnommen aus dem RESTNI-Datensatz des Umweltbundesamtes) beträgt für den Standort 725,6 mm. Um für die Jahreszeitreihe eine langjährige zeitliche Repräsentativität zu gewährleisten, wird jede gemessene stündliche Niederschlagsmenge mit einem Skalierungsfaktor von 1,027 multipliziert. Damit wird erreicht, dass die bereitgestellte Jahreszeitreihe in Summe die gleiche Niederschlagsmenge wie der langfristige Durchschnitt aufweist, die Niederschlagsereignisse aber dennoch stundengenau angesetzt werden können.

Ansonsten gleicht die Ausbreitungsklasse mit Niederschlag der gewöhnlichen Ausbreitungsklassenzeitreihe, die hier im konkreten Fall in Abschnitt 4.3 beschrieben wurde.

2. Juli 2024 27 / 30



# 5 Zusammenfassung

Als repräsentatives Jahr für die Station Trier-Petrisberg wurde aus einem Gesamtzeitraum vom 19.04.2009 bis zum 14.03.2024 das Jahr vom 01.01.2010 bis zum 31.12.2010 ermittelt.

Frankenberg, am 2. Juli 2024

Dipl.-Phys. Thomas Köhler - erstellt -

Dr. Hartmut Sbosny
- freigegeben -

2. Juli 2024 28 / 30



# 6 Prüfliste für die Übertragbarkeitsprüfung

Die folgende Prüfliste orientiert sich an Anhang B von VDI-Richtlinie 3783 Blatt 20 [1] und soll bei der Prüfung des vorliegenden Dokuments Hilfestellung leisten.

Abschnitt in VDI 3783 Blatt 20	Prüfpunkt	Entfällt	Vorhanden	Abschnitt/ Seite im Dokument				
6.4	Repräsentatives Jahr							
	Bei Auswahl eines repräsentativen Jahres: Auswahlverfahren dokumentiert und dessen Eignung begründet			3.2 / 13				
	Bei Auswahl eines repräsentativen Jahres: Angabe, ob bei Auswahl auf ein Kalenderjahr abgestellt wird oder nicht (beliebiger Beginn der Jahreszeitreihe)			3.2 / 13				
	Bei Auswahl eines repräsentativen Jahres: Messzeitraum mindestens 5 Jahre lang und bei Bearbeitungsbeginn nicht mehr als 15 Jahre zurückliegend			3.1/9				
7.1	Erstellung des Zieldatensatzes							
	Anemometerhöhen in Abhängigkeit von den Rauigkeitsklassen nach TA Luft in Zieldatensatz integriert			4.1.3 / 23				
	Bei Verwendung von Stabilitätsinformationen, die nicht an der Bezugswindstation gewonnen wurden: Herkunft der Stabilitätsinformationen dokumentiert und deren Eignung begründet							

2. Juli 2024 29 / 30



#### 7 Schrifttum

- [1] VDI 3783 Blatt 20 Verein Deutscher Ingenieure e.V., *Umweltmeteorologie Übertragbarkeitsprüfung meteorologischer Daten zur Anwendung im Rahmen der TA Luft,* Berlin: Beuth-Verlag, vom März 2017; in aktueller Fassung.
- [2] M. Koßmann und J. Namyslo, "Merkblatt Effektive Rauigkeitslänge aus Windmessungen," Deutscher Wetterdienst, Offenbach, 2019.
- [3] A. C. M. Beljaars, "The influence of sampling and filtering on measured wind gusts," *Journal of Atmospheric and Oceanic Technology*, Nr. 4, pp. 613-626, 1987.
- [4] A. C. M. Beljaars, "The measurement of gustiness at routine wind stations a review," *Instruments and Observing Methods*, Nr. Reports No. 31, 1987.
- [5] J. Wieringa, "Gust factors over open water and built-up country," *Boundary-Layer Meteorology,* Nr. 3, pp. 424-441, 1973.
- [6] J. Wieringa, "An objective exposure correction method for average wind speeds measured at sheltered location," *Quarterly Journal of the Royal Meteorological Society,* Nr. 102, pp. 241-253, 1976.
- [7] VDI 3783 Blatt 8 Verein Deutscher Ingenieure e.V., *Umweltmeterorologie Messwertgestützte Turbulenzparametrisierung für Ausbreitungsmodelle (Entwurf),* Berlin: Beuth-Verlag, vom April 2017; in aktueller Fassung.
- [8] M. Koßmann und J. Namyslo, "Merkblatt Effektive Rauigkeitslänge aus Windmessungen," Deutscher Wetterdienst, Offenbach, 2023.
- [9] J. Namyslo und M. Koßmann, "Bestimmung effektiver Rauigkeitslängen an Windmessstationen aus topographischen Karten (TK-Verfahren)," Deutscher Wetterdienst, Offenbach, 2019.
- [10] Statistisches Bundesamt, Daten zur Bodenbedeckung für die Bundesrepublik Deutschland, Wiesbaden.
- [11] R. Petrich, "Praktische Erfahrungen bei der Prüfung der Übertragbarkeit meteorologischer Daten nach Richtlinie VDI 3783 Blatt 20 (E)," *Gefahrstoffe Reinhaltung der Luft,* pp. 311 315, 07/08 2015.
- [12] VDI 3783 Blatt 10 Verein Deutscher Ingenieure e.V., *Umweltmeteorologie Diagnostische mikroskalige Windfeldmodelle Gebäude und Hindernisumströmung,* Berlin: Beuth-Verlag, vom März 2010; in aktueller Fassung.
- [13] VDI 3783 Blatt 13 Verein Deutscher Ingenieure e.V., Umweltmeterorologie Qualitätssicherung in der Immissionsprognose Anlagenbezogener Immissionsschutz Ausbreitungsrechnungen gemäß TA Luft, Berlin: Beuth-Verlag, vom Januar 2010; in aktueller Fassung.
- [14] VDI 3783 Blatt 16 Verein Deutscher Ingenieure e.V., *Umweltmeterorologie Prognostische mesoskalige Windfeldmodelle Verfahren zur Anwendung in Genehmigungsverfahren nach TA Luft,* Berlin: Beuth-Verlag, vom März 2017; in aktueller Fassung.
- [15] VDI 3783 Blatt 21 Verein Deutscher Ingenieure e.V., *Umweltmeteorologie Qualitätssicherung meteorolgischer Daten für die Ausbreitungsrechnung nach TA Luft und GIRL,* Berlin: Beuth-Verlag, vom März 2017; in aktueller Fassung.
- [16] Deutscher Wetterdienst, "Climate Data Center, CDC-Newsletter 6," Offenbach, 2017.
- [17] TA Luft Technische Anleitung zur Reinhaltung der Luft, Erste Allgemeine Verwaltungsvorschrift zum Bundes-Immissionsschutzgesetz, vom 14. September 2021; in aktueller Fassung.

2. Juli 2024 30 / 30